

OR



T-1045

OD (Mo. wq.)

1949

Schuler H., Reinebeck L.

Z. Naturforsch. 1949, 4a, 560-561.

A new OD spectrum in the visible
region.

C.A., 1950, 44, 4778i

10

I-1042

I95I

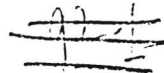
OD (D, колебат. и вращат. пост.)

Oura H.

J.Phys.Soc.Japan, I95I, 6, 40I-2.

Band spectrum of neutral OD.

Ch.A., I953, 73I6i



T-1041

1952

OD (Φ_T^*)

McDonald G.

J.Am.Chem.Soc., 1952, 74, 5539-40.

Calculated approximate values of the free-energy function for the OD molecule.

Ch.A., 1953, 10919b

to



(Φ_T^*)

OD

swupp

1954

G.C. Dousmanis
Physic Rev [2] 94, 299, 1954

Micropolar mechanics swupp chs. pag. OD

Zb N 20 1955

OB

Dousmanis G.C. u gp. 1955

Phys. Rev., 100, N6, 1735

Микроволновые спектр
свободных радикалов
OH и OB.



T-1039

OH (OD) Barzow R.F., Downie A.R.

1956

анализ Proc. Phys. Soc. 1956, 69A, 178.

4200-6000 Å идентифицировано следующим способом $B - A^2\Sigma$

$D_0 = 101,5 \pm 0H$ и OD .

$\pm 0,5$ ккал/моль

На основе измерений заселенности $A^2\Sigma$ и $B^2\Sigma$ зон спектра для

$v = 6 - 9'$ и сферических

зона $A^2\Sigma$ получены значения OK при

$0 \leq v \leq 4$ излучению, имеющие

составлено синтезом гидроксида $\text{Al}_2\bar{\text{O}}$
гидроксида OH .

С помощью квадратной окантовки
заряженному $\Delta g''(\nu)$ измерено $\Delta \phi(\text{OH}) = 104,5 \pm$
 $\pm 0,5$.

09

Barrow R.F.
Aug 804

1956

Ark. f. Fys., 11, N19, 281

D. $B^2\Sigma^+ - A^2\Sigma^+$ - система

новое OH и OD

(cu. OH) III



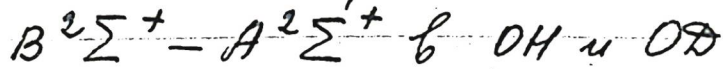
OD

Barrow R.F.,
Downie A.R.

1956

Proc. Phys. Soc., 69A, 178

Излучающий полосатый спектр



(ли. OH) III

09

Dousmanis G.C.

1956

Dissert. Abstr. 16, 1264
Phys. Rev. 94, 789'

Микроволновый спектр
OD и OH в $\Pi_{1/2}$ состояниях.



09

Barrow R.F.

1957

Mém. soc. roy. sci. Liege
1957, 18, Fasc. uniq. 450

Система $B^2\Sigma^+ - A^2\Sigma^+$
OH и OD.



7-1040

1957

OH, OD, OT $Cp^{\circ}/R, (H^{\circ}-E_{O}^{\circ})/RT, -(F^{\circ}-E_{O}^{\circ})/RT$
SH, SD, ST S°/R

Haar L., Friedman A.S.

J.Chem.Phys., 1955, 23, N 5, 869-875(

High-speed machine computation of ideal
gas thermodynamic functions. II. The diatomic
free radicals of the isotopic hydrides of oxy-
gen and sulfur.

PX, 1957, 47345

10



V
op

T-3188

1959

DO. (H_p, D)

Gray P.

Trans. Faraday Soc., 1959, 55,
N 3, 408-417

Chemistry of the free radicals
containing oxygen. Part 2. Thermoche-
mistry of the hydroxyl and hydro-
peroxyl radicals

PX., 1959, 85253

μ



φ

OD

Herman D.L.

1961

U.S. Dept. Com. Office Tech
Serv., AD 256, 951, comp. 17

Predissociation by rotation
of the OH molecule.

(C₂H₅OH)_{III}

1961

Op OD)	Herman L., Felenbok P., Herman R.
	J. phys. radium, 1961, 22, 83 (v2)
	Спектр неизлучающей парыка - эбл ОД и ОД
	ночью 0-6, 0-7, 0-8 и 0-9 од и 0-8, 0-9, 0-10, 0-11 и 0-11 од
(All. OH) III	спектра $B^2\Sigma - A^2\Sigma$ излучают с некоторой интенсивностью, звук излучение. Излучение носит характер. Одна из групп излучения имеет временем $\Delta t (B^2\Sigma) = 13 / 5 \text{ с}^{-1}$

ОВ} } (и, брачай, кандай. ност.) XI 1683

OD } Felenbok P.,

These doct. sic. phys. Fac. Sci. Univ.
Paris, 1963, Paris, s.a., 36 pp.

(1963)

lo

pp65

OP

Felenber Paul

1963

1964

2931

Ann. Astrophys., 26, N5, 393

Быстро

2932

Несложные ассоциации сидерит-
химика и сульфидов пегматитов
OH и OP.

(Cu. OH) III

OD

Felenböck P.,
Czerny Y.

1964

16825

Ann. d'Astrophys., 27, 244

1-XI-
0m.

Identification du système
 $C^2\Sigma - X^2\Pi$ de OH et OD
dans l'Ultra-violet du Vide



OD

Ogilvie Y.F.

1964

Nature, 204, N 4958, 572

UK - склонное к концепции
какого либо концептуального
принципа

VI - 1973.

(Cu. OH) III

09

Acquista N.

1968

J. Chem. Phys., 48, NY, 1534

секунд
матрице

UK - секунд. працякаса
OH, утворюванням в
матрице.

(ал. OH) III

I968

OD

2935

Czarny J., Felenbok P.

Annales d'Astrophysique, 31, I4I

Etude à très haute résolution
de la transition $B^2\Sigma^+ - A^2\Sigma^+$
de OH et OD à l'aide d'une source
haute fréquence mise au point, à
cet effet.



09

13 Б1041. Предиссоциация хемилюминесцентных OH и OD. Palmer H. B., Naegeli D. W. Predisociation of chemiluminescent OH and OD. «J. Molec. Spectrosc.», 1968, 28, № 4, 417—421 (англ.)

Проведено сравнение колебательно-вращательной структуры в спектрах хемилюминесценции (электронный переход $A^2\Sigma^+ \rightarrow X^2\Pi$) радикалов OH и OD, полученных в диффузионных пламенах $K + CHCl_3$ (или $CDCl_3$) при низк. давлениях с небольшими добавками O_2 . Общая картина (туннельный эффект, предиссоциация) одинакова для обоих радикалов. Предиссоциация обусловлена, по-видимому, пересечением состояния $A^2\Sigma^+$ состоянием отталкивания или слабого притяжения ${}^4\Sigma^-$. Оно происходит с внешней стороны в точке с энергией $40\ 300\ cm^{-1}$ и межядерным расстоянием 1,35 Å.

Р. Васильев

2. 1969

13

[Год]

+1

8

1968

1968

OD

Физ. спктр
(0,0) полосы

12. Д294. Эффект Зеемана для (0,0)-полосы OD.
 Thakur S. N., Rai D. K., Singh N. L. Zeeman effect
 in the (0, 0) band of OD. «J. Chem. Phys.», 1968, 48,
 № 8, 3389—3395 (англ.)

Наблюдена вращательная структура (0, 0)-полосы в системе $^2\Sigma^+ - ^2\Pi_{1v}$ OD. Измерения производились для невозмущенной системы и при наложении магн. поля. Для ряда линий отчетливо разрешено зеемановское расщепление, в других случаях наблюдался только сдвиг линий. Величины расщеплений и сдвигов были измерены и сопоставлены с предсказаниями Хилла и Ван-Флека. Исследованы поляризационные характеристики спектров.

Резюме

Ф. 1968

128

OD

Om. XI-523
Tinti R.S.

(M. n)

J. Chem. Phys., 48, n 4,
1459 - 1464.

Синтезированы и исследованы
и испытаны в ОК и OD
в кипячении из Ne. Растворы
затемнены до брауновской
засветки. Радикалы ра-
дикалов. (См. ОК)

1969

OR

Clyne M. A. A., et al.

Trans. Far. Soc., 65, N 5,
1177.

Электрок.
воздушное

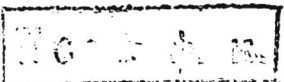
(Cll. OR) 1

XI 94

1969

OH, OD (mas. voc., Do)

Carbone C., Dalley F.W.,
Can. J. Phys., 1969, 47(18),
1945-57



AD

OH

I970

OD

Carrington A., Lucas N.J.D.

Proc. Roy. Soc., 314, 567

сспектр
ЭПР

Electron resonance of gaseous dia-
tomic hydrides. I. ^{17}O hyperfine
and quadrupole interactions in OH
and OD.

(Cu OH) III

1971

09

9 Д238. Предиссоциация верхних колебательных уровней состояния $A^2\Sigma^+$ радикала OD. Czarny J., Fellenbok P., Lefebvre-Brion H. High vibrational level predissociation in the $A^2\Sigma^+$ state of OD. «J. Phys. B: Atom. and Mol. Phys.», 1971, 4, № 1, 124—132 (англ.)

предиссо. Излучение радикала OD (переход $B^2\Sigma^+ - A^2\Sigma^+$) возбуждалось безэлектродным ВЧ-разрядом в протоке D_2O и регистрировалось с разрешающей силой $\sim 600\ 000$. Получены контуры большого числа вращательных линий в диапазоне энергий $16 - 21 \cdot 10^3\ cm^{-1}$ и исследована зависимость полуширины от v и N . Из сравнения экспериментальных результатов с проведенными теоретич. расчетами следует, что предиссоциация относится к типу c^+ по

Ф. 1981. ID

Милликену и обусловлена первым порядком спин-орбитального взаимодействия. Ответственное за предиссоциацию отталкивательное состояние ${}^4\Pi$ имеет квазипересечение с состоянием $A^2\Sigma^+$ при $r=1,65 \text{ \AA}$ между $v=7$ и $v=8$. Колебательно-вращательное взаимодействие является причиной сильной зависимости полуширины линий от вращательного квантового числа. Библ. 22.

В. Александров

08

1971

18 Б244. Предиссоциация OD с высокого колебательного уровня состояния $A^2\Sigma^+$. Czaigny J., Fellenbok P., Lefebvre-Brion H. High vibrational level predissociation in the $A^2\Sigma^+$ state of OD. «J. Phys. B: Atom. and Mol. Phys.», 1971, 4, № 1, 124—132 (англ.)

Измерены ширины вращательных уровней для электронного перехода с колебательных уровней $v=8-12$ состояния $A^2\Sigma^+$ радикала OD . Сравнением измеренных и рассчитанных ширин показано, что предиссоциация с вы-

сследованием
предиссоциации.

X. 1971. 18

соких колебательных уровняй обязана спин-орбитальному взаимодействию 1-го порядка с отталкивательным состоянием $^4\Pi$, к-рое пересекает состояние $A^2\Sigma^+$ между $v=7$ и $v=8$ ($r=1,65 \text{ \AA}$) для OD_2 и между $v=5$ и $v=6$ для OH . Сильная зависимость скорости предиссоциации от вращательного квантового числа объяснена колебательно-вращательным взаимодействием.

А. Резников

OD

X7-2607

1971

92974z) High vibrational level predissociation in the $A\ ^2\Sigma^+$ state of OD. Czarny, Jean; Felenbok, Paul; Lefevre-Brion, H. (Obs. Meudon, Meudon, Fr.). *J. Phys. B* 1971, 4(1), 124-32 (Eng). By using high resoln. spectrograms, the broadened line-widths for several bands of the $B\ ^2\Sigma^+ - A\ ^2\Sigma^+$ system of OD have been reinvestigated. Comparison between obsd. and calcd. halfwidths shows that the high-vibrational level predissocn. is a case c+ one, due to a 1st order spin orbit interaction, with a repulsive $^4\Pi$ state which crosses the $A\ ^2\Sigma^+$ state of OD at $r = 1.65 \text{ \AA}$ between $v = 7$ and $v = 8$, and between $v = 5$ and $v = 6$ for OH. The vibration-rotation interaction is responsible for the strong halfwidth dependence on the rotational quantum no. RCBS

High energy

July 20 1971

C.P. 1971. 24. 18

02

de Zafra L.L.
at all

1971

M.N.

Phys. Rev. A: Gen. Phys.
1971, 3, N5, 1557-67



(Cu.OH) \bar{m}

OD

Nunes R., On XI-1851) 1941
Robinson D. W.

M.N.

J. Chem. Phys., 1971,
55, n^o 2, 963.



(cu. OH)^{III}

OH, OD (ee.n.) "

Naines R.

X) 2714

1971

Diss. Abstr. Int., 1971, B31, NY,
4259 (ann.)

Magnetic rotation spectra
of the $A^2\Sigma^+ - X^2\Pi$ transi-
tion of OH and OD R.

10

③

CA, 1971, 75, N24, 145809d

OD

(np eguccoy.

$A^2\Sigma^+$

1971

19671K Analytical theory of fluctuations in the predissociation line width. Ramsay, D. S.; Child, M. S. (Phys. Chem. Lab., Oxford, Engl.). *Mol. Phys.* 1971, 22(2), 263-71 (Eng). Anal. expressions for the predissocn. linewidth as a function of vibrational and rotational state are obtained by a semiclassical (Wentzel, Kramers, Brillouin) method. It is then shown how the classical turning points for the curve contained between the upper parts of the repulsive and attractive potential functions may be deduced for an exptl. pattern of linewidths. The theory is successfully applied to data for the $A^2\Sigma^+$ state of OD.

C.A.

1972.46.4

OH, OD (u.n.)

3143

1972

Ducas T. W., Geoffrion Z. D., Osgood
R. M. Jr., Yawan A.,

Appl. Phys. Lett., 1972, 21, N1, 42-
- 44 (aruu.)

Observation of laser oscillation
in pure rotational transitions
of OH and OD free radicals.

PrePis, 1972, 12D934. 10 6 (3)

OD

XI-3189) Engleman Rolf, Jr. 1972

(Vi)

"J. Quant Spectrosc." and
"Radiat. Transfer", 1972,
12, N9, 1347-50.

(cet. OH, III)

OD

12 Д502. Электронная система полос $A^2\Sigma^+ - X^2\Pi_i$ свободного радикала OD: Спектроскопические данные для последовательности 0—0 и величины вращательных термов для $A^2\Sigma^+$ и $X^2\Pi_i$. Clype M. A. A., Coxon J. A., Woon Fat A. R. The $A^2\Sigma^+ - X^2\Pi_i$ electronic band system of the OD free radical. Spectroscopic data for the 0—0 sequence, and rotational term values for $A^2\Sigma^+$ and $X^2\Pi_i$. «J. Mol. Spectrosc.», 1973, 46, № 1, 146—170 (англ.)

1973

М.Н.

Система полос $A^2\Sigma^+ - X^2\Pi_i$ свободного радикала OD, возбуждаемая микроволнами разрядом через поток D_2O при давлении 0,1 мм рт. ст., зарегистрирована с дисперсией 0,3 Å/мм. Впервые выполнен детальный анализ вращательной структуры полос 0—0, 1—1, 2—2 последовательности $\Delta v=0$. Приведены величины числа вращательных линий и дополнительные данные для полосы 0—1. Вычислены величины термов для v' и $v''=0,1$, которые воспроизводят наблюдаемые на опыте переходы со средним отклонением не более $0,02 \text{ см}^{-1}$. На основании полученных данных и результатов более ранних исследований, выполненных для полос с v' и $v''=2,3$ на приборе с низким разрешением, получены приближенные значения термов этих более высоких уровней. Библ. 35.

И. Дворников

3581

VI

(Х-3831)

1973

OD

24 Б200. Система полос электронного перехода $A^2\Sigma^+ - X^2\Pi_i$, свободного радикала OD: спектроскопические данные для секвенции 0—0 и вращательные уровни состояний $A^2\Sigma^+$ и $X^2\Pi_i$. Clupe M. A. A., Coxon J. A., Woon Fat A. R. The $A^2\Sigma^+ - X^2\Pi_i$ electronic band system of the OD free radical. Spectroscopic data for the 0—0 sequence, and rotational term values for $A^2\Sigma^+$ and $X^2\Pi_i$. «J. Mol. Spectrosc.», 1973, 46, № 1, 146—170 (англ.)

Эймс.

Исследован эмиссионный спектр высокого разрешения свободного радикала OD, образованного в микроволнистом разряде через D_2O при давлении 0,1 мм. Идентифицирована вращательная структура полос 0—0, 1—1, 2—2 секвенции с $\Delta v=0$ и полосы 0—1 системы перехода $A^2\Sigma^+ - X^2\Pi_i$ в области 3040—3390 Å: каждая из этих полос состоит из 6 основных ветвей $P_1, Q_1, R_1, P_2, Q_2, R_2$ и из 6 спутниковых ветвей $S_{21}, R_{21}, Q_{21}, Q_{12}, P_{12}, O_{12}$, соответствующих переходам между двумя спиновыми компонентами (F_1, F_2) возбужденного состояния $A^2\Sigma^+$ и че-

Х. 1973 № 24

тырьмя компонентами (f_1^\pm, f_2^\pm) основного состояния $X^2\Pi$, (каждый вращательный уровень состояния $X^2\Pi$ расщеплен на компоненты f_1 и f_2 за счет спин-орбитального взаимодействия, к-рые расщеплены на + и — компоненты за счет А-удвоения). Из комбинационных разностей частот линий вычислены значения энергии вращательных уровней и приведены в виде таблиц. Результаты расчета молекулярных постоянных будут опубликованы отдельно.

М. Р. Алиев

OD

(paganini)

XI-3531

1973

153382m $A^2\Sigma^+ - X^2\Pi_i$; electronic band system of the hydroxyl-free radical. Spectroscopic data for the 0-0 sequence, and rotational term values for $A^2\Sigma^+$ and $X^2\Pi_i$. Clyne, M. A. A.; Coxon, J. A.; Fat, A. R. Woon (Queen Mary Coll., Univ. London, London, Engl.). *J. Mol. Spectrosc.* 1973, 46(1), 146-70 (Eng). The $A^2\Sigma^+ - X^2\Pi_i$ emission system of the OD radical was recorded at high resoln. from a discharge through flowing D₂O at 0.1 torr pressure. The 0-0, 1-1, and 2-2 bands of the $\Delta v = 0$ sequence were analyzed in detail for the 1st time. A table of the vacuum wave-nos. and wavelengths in air of the rotational lines of these bands is presented, together with some addn. measurements for the 0-1 band. The data were used to obtain a self-consistent set of term values for v' and $v'' = 0, 1$, which reproduces the obsd. line frequencies with an av. deviation of <0.2 cm⁻¹. Earlier, lower resoln. data for bands with v' and $v'' = 2, 3$ were also combined with the present measurements to give approx. term values for these higher levels.

 $A^2\Sigma^+ - X^2\Pi_i$

Min.

C.A. 1973, 49, 124

30719.8730
TE, Ch, Ph

OD

40892

1973
is-1083

ж

German K.R., Bergeman T.H., Weinstock
E.M., Zare R.N.

Zero-field level crossing and optical
radio-frequency double resonance stu-
dies of the A $2\Sigma^+$ states of OH and OD.

"J.Chem.Phys.", 1973, 58, N 10, 4304-4318
(англ.)

0919 ник

901 902 0912

ВИНИТИ

OD

20 Б22. Неэмпирический расчет дипольного момента и постоянных сверхтонкого расщепления радикала OD в состоянии $A^2\Sigma^+$. Green Sheldon. Dipole moment and hyperfine constants of OD $A^2\Sigma^+$ from ab initio calculations. «J. Chem. Phys.», 1973, 58, № 10, 4327—4330 (англ.)

1973

Ж.Н

Приведен расчет дипольного момента (ДМ) и констант сверхтонкого расщепления (КСР) радикала OD в состоянии $A^2\Sigma^+$. При равновесном межъядерном расстоянии 1,912 ат. ед. ДМ, КСР и энергия были определены методом ССП МО ЛКАО в четырех базисных наборах орбиталей слейтеровского типа, наибольший из к-рых содержал 27 и 15 орбиталей σ - и π -типов соотв., и, как показывает анализ изменения указанных св-в, их значения близки к хартри-фоковскому пределу. С целью экономии времени расчета, метод конфигурац. взаимодействия (КВ) был применен в базисе 18 МО σ - и 10 МО π -типов соотв., с варьируемыми орбитальными экспонентами. При расстояниях 1,7; 1,9 и 2,15 ат. ед. проведены итерации метода натуральных орбиталей, при-

7777
15-1070
X

X. 1973. № 20

чем согласование было достигнуто через один шаг. Методом Ридберга—Клейна—Риса построены потенциальные кривые для OD и OH, после чего расчет методом KB был повторен при межъядерных расстояниях отвечающих точкам поворота колебательного состояния $v=0$. Это позволило с помощью экстраполяции определить ср. значения ДМ и КСР систем OD и OH при $v=0$ и $v=1$ и оценить ошибку в определении ДМ вызванную колебательным движением. Значение ДМ радиала OD ($A^2\Sigma^+, v=0$) равное $1,84 \pm 0,06 D$ близко к эксперим. $1,72 \pm 1,10 D$. Отмечается необходимость анализа ошибок неэмпирич. методов при сравнении результатов расчета с эксперим. данными. В. И. Пузышев

1973

OD

μ

11462j Dipole moment and hyperfine constants of hydroxyl-d $A^2\Sigma^+$ from ab initio calculations. Green, Sheldon (Goddard Inst. Space Stud., New York, N.Y.). *J. Chem. Phys.* 1973, 58(10), 4327-30 (Eng). The dipole moment and hyperfine constants of OD (and OH) $A^2\Sigma^+$ were obtained from ab initio calcns., by using SCF and configuration interaction techniques. Special attention was given to the effects of basis set quality and vibrational motion. For OD, $A^2\Sigma^+$ in the ground vibrational level, a value of $\mu = 1.84 \pm 0.06$ D was obtained. This is consistent with a recent measurement by Weinstock and Zare but not with an earlier detn. of Scarl and Dalby.

15-1070
15

C.A. 1973.79v2

OD

1973

21 Б59. Радиопереходы молекулы $O^{16}D$. Херсонский В. К. [Khersonsky V. K. Microwave transitions of molecule $O^{16}D$]. «Астрон. ж.», 1973, 50, № 3, 646—649 (рус.; рез. англ.)

На основе имеющихся эксперим. данных рассчитаны частоты и вероятности переходов между подуровнями СТС основного состояния молекулы $O^{16}D$. Резюме

Vi,
f_{mn}

х. 1973 N 21

OD

(XI - 3494)

1973

20 Б21. Исследование пересечения уровней в сильном поле и эффекта Штарка в $A^2\Sigma^+$ -состоянии OD.

Weinstock E. M., Zare R. N. High-field level-crossing and Stark studies of the $A^2\Sigma^+$ state of OD. «J. Chem. Phys.», 1973, 58, № 10, 4319—4326 (англ.)

(ч.н.)

Для $A^2\Sigma^+$ -состояния молекулы OD исследовано пересечение уровней в сильном поле при напряженности магнитного поля H от 0 до 80 гс. Молекула OD получалась хим. р-цией D+NO₂ в потоке; резонансная линия 3071,60 Å бариевой лампы возбуждала уровень $v=0$, $N=1$, $I=3/2$ состояния $A^2\Sigma^+$. Флуоресценция наблюдалась

23-10871
*

X. 1973. № 20

лась под прямым углом к направлению возбуждающего лучка и магнитного поля. В использованном интервале H имеется 3 пересечения уровней $F=5/2, 3/2, 1/2$ с $\Delta M=2$. Для определения дипольного момента μ уровня $v=0, N=1$ параллельно магнитному полю накладывалось статич. электрич. поле напряженности $E=2219$ в/см. Энергетич. уровни рассчитаны как функции H и E диагонализацией гамильтониана, учитывавшего члены ТС, СТС, эффектов Зесмана и Штарка, при определяемых методом наименьших квадратов значениях параметров СТС b, c и eqQ , а также μ . Даны оценка возможных ошибок определения указанных параметров. Вычисленные значения параметров: $b=110,4 \pm 2,6$ МГц, $c=22 \pm 14$ МГц, $eqQ=0,09 \pm 0,05$ МГц и $\mu=1,72 \pm 0,10$ D. Результаты сравниваются с данными неэмпирич. расчетов.

Н. Ф. Степанов

1973

OD

D 11 Д1064. Пересечение уровней в сильных полях и исследование эффекта Штарка возбужденного состояния $A^2\Sigma^+$ радикала OD. Weinstein E. M., Zare R. N. High-field Level-crossing and Stark studies of the $A^2\Sigma^+$ state of OD. «J. Chem. Phys.», 1973, 58, № 10, 4319—4326 (англ.)

Установка. Исследована зависимость интенсивности флуоресценции на линии 3071,6 Å радикала в ф-ции от напряженности магн. поля в присутствии соосного электрич. поля. Обнаружены три сигнала пересечения магн. составляющих сверхтонкой структуры состояния $v=0, N=1, J=3/2 A^2\Sigma^+$. Пересечения уровней найдены в диапазоне 35—80 э. Определены три константы сверхтонкого взаимодействия и электрич. дипольный момент состояния. Радикал OD возникал в потоке в реакции атомарногодейтерия с двуокисью азота и возбуждался излучением барнеевой резонансной лампой. Библ. 23. Е. Александров

x. 1973 № 11

OD

1974

(XI - 4079)

10 Д467. Асимметрическая форма линий в системе
} $B \rightarrow A$ радикала OD. Carbone Cosmo: Asymmetric
line shapes in the $B \rightarrow A$ system of OD. «Phys. Rev. A:
Gen. Phys.», 1974, 9, № 2, 606—608 (англ.)

Экспериментально установлена асимметрия линий в
системе $B \rightarrow A$ радикала OD, возбуждаемой разрядом
в D_2O в полом катоде. Для переходов P_2 20, P_1 20,
 P_2 21 и P_1 21 полосы (0,9) получены значения резонансных
ширин (в см^{-1}): $0,4 \pm 0,2$; $1,1 \pm 0,2$; $0,4 \pm 0,2$ и
 $0,2 \pm 0,1$ и параметров профиля линий: $+2,5 \pm 0,5$;
 $-22,0 \pm 0,5$; $-3,0 \pm 0,5$ и $+5,0 \pm 1,0$. Библ. 16.

И. Дворников

Ф. 1974. N10

OD

ЛХТ - 4079

1974

19 Б187. Асимметричные формы линий в системе полос $B \rightarrow A$ радикала OD. Carbone Cosmo. Asymmetric line shapes in the $B \rightarrow A$ system of OD. «Phys. Rev. A: Gen. Phys.», 1974, 9, № 2, 606—608 (англ.)

Измерены контуры линий $P_{2,1}$ (20) и $P_{2,1}$ (21) полосы 0—9 системы электронного перехода $B^2\Sigma^+ \rightarrow A^2\Sigma^+$ в спектре излучения радикала OD. Для ширины этих линий получены значения 0,4; 1,1; 0,4 и 0,2 см^{-1} , соотв., а для показателя асимметрии контура (по Фано) — значения 2,5; —2,0; —3,0 и +5,0, соотв. Отмечено, что формы этих линий не описываются ф-лой Брейта — Вигнера. Получено также отклонение формы этих линий от ф-лы Фано, полученной с учетом предиссоциации за счет взаимодействия дискретных уровней с континуумом, к-рое приписано неучтенному в теории Фано спин-вращательному взаимодействию.

М. Р. Алиев

спектр
излучений

Х. 1974 № 19

OD

(B → A')

XI-4079

1974

114316q Asymmetric line shapes in the $B \rightarrow A$ system of deutroxyl radical. Carbone, Cosmo (Dep. Phys., Univ. Sherbrooke, Sherbrooke, Que.). *Phys. Rev. A* 1974, 9(2), 606-8 (Eng). Asym. line shapes in the $B \rightarrow A$ system of the OD radical were obsd. For the P_{120} , P_{120} , P_{120} , and P_{121} transitions of the (0,9) band, the resonance widths are, in cm^{-1} , 0.4 ± 0.2 , 1.1 ± 0.2 , 0.4 ± 0.2 , and 0.2 ± 0.1 , resp., and the line profile indexes are $+2.5 \pm 0.5$, -2.0 ± 0.5 , -3.0 ± 0.5 , and $+5.0 \pm 1.0$, resp.

C.A. 1974. 80. N20

50221.8832

Ch, Ph, TC, MGU

40392

02

1974

QD (u.n.)

44-8118

Chu Shih-I & Yoshimine M., Liu B.

Ab initio study of the $X^2 \Pi$ and $A^2 \Sigma^+$ states of OH. I. Potential curves and properties.

"J. Chem. Phys.", 1974, 61, N 12, 5389-5395

(англ.)

0304 ПИК

279 281 0 296

ВИНИТИ

XI 4031

1974

OH, OD (u.n.)

Douglas H.E.

Can. J. Phys., '1974, 52, no.,

318-323

LECT b Q. 13.

40

Re; Au; Pt; OH; OD; Na; K/Ae) 1974

X 8798

Hotopp, Patterson T.A, Lineberger W.C.,

Adv. Mass Spectrometry. Vol. 6.,

Barking -London, 1974, 287-293,

Discuss, 293 (auu)

High resolution photodetachment
studies of negative ions 10, (P)

40515.8719

TE, Ch, Ph

On XI - 4066

OD

40892.

1974

He

2064

Hotop H., Patterson T.A., Lineberger W.C.

High resolution photodetachment study of
OH⁻ and OD⁻ in the threshold region
7000-6450 Å.

"J. Chem. Phys.", 1974, 60, N 5, 1806-1812

(англ.) *(если OH; II)*
0 0 1 5 0 0

093

ВИНИТИ

088 091

1974

02

Отчет по научно-исследовательской работе
ИВТАН, отчет №8

и.и.

"Технологические св. ба
дгота Богоугодного и все социаль-
ности."

1974

OD

(μ)

1 Б142. Оптическая накачка молекул. Zagé Richard N. Optical pumping of molecules. «Colloq. int. CNRS», 1974, № 217, 29—40 (англ., рез. франц.)

Описаны когерентные и некогерентные методы изучения возбужденных состояний молекул, приготовленных путем оптич. накачки. Табулированы короткоживущие возбужденные состояния двух- и трехатомных молекул. Для молекулы OD подуровней по зависимости вращательных подуровней от магнитного поля определен дипольный момент $1,72 \pm 0,10$ D. Дипольный момент молекулы NaK в состоянии $D^1\pi$ по эффекту Штарка в спектре флуоресценции оценен в 4,0 D. Оптич. накачка

☒ (+)



NaK (μ)

BaO сингр

Na₂ сингр

х. 1975. № 1

молекул в основных состояниях вследствие различия в скоростях накачки магнитных подуровней проиллюстрирована на переходе $v'=3, j''=43 \rightarrow v'=6, j'=43$ полосы $B^1\pi_u - X^1\epsilon_g$ молекулы Na_2 , для к-рого наблюдается отклонение от закона Бэра и деполяризация флуоресценции при возрастании интенсивности возбуждающего лазерного света. В состояниях $X^1\epsilon, v=0, 1$ и $A^1\epsilon = 0-5$ молекулы $^{138}\text{Ba}^{16}\text{O}$ наблюдены 14 переходов в МВ-области. Библ. 75.

М. А. Ковнер

OD

5-11205

1975

5 Д209. Интерференционные эффекты при возбуждении резонансов с тонкой структурой — применение к предиссоциации в $B \rightarrow A$ системе радикала дейтроксила.
Carloone Cosmo. Interference effects in the excitation of resonances with fine structure—an application to the predissociation in the $B \rightarrow A$ system of the deutroxyl radical. «Phys. Rev. A: Gen. Phys.», 1975, 12, № 6, 2464—2471 (англ.)

предис-
социация
в полосе
0-9 сист.
 $B \rightarrow A$

Обсуждается явление резонанса при возбуждении двух близко лежащих уровней, либо дискретных уровней, лежащих на фоне сплошного спектра. Результаты теории применяются для объяснения предиссоциации в полосе 0—9 системы $B \rightarrow A$ радиакала OD. Спектры предиссоциации можно объяснить, предположив взаимодействие 0—9 полосы с несвязывающим 4P состоянием. При этом наблюдается интерференция между вращательными уровнями P_{18} и R_{18} , проявляющаяся в изменении формы полосы. Показано, что переходам, связанным со сплошным спектром, можно приписать хоть и очень большую, но конечную полуширину. Обсуждается также зависимость спин-расщепления уровней от вращательного квантового числа. Библ. 31.

Е. П. Смирнов

Ф. 1976, N 5

DO

*43-11205

1975

84: 51584k Interference effects in the excitation of resonances with fine structure. Application to the predissociation in the $B \rightarrow A$ system of the deutroxyl radical. Carbone, Cosmo (Dep. Phys., Univ. Sherbrooke, Sherbrooke, Que.). *Phys. Rev. A* 1975, 12(6), 2464-71 (Eng). The predissocn. in the $B \rightarrow A$ system of the deutroxyl radical was reinvestigated. The exptl. line shapes P_{17} , P_{18} , R_{18} , P_{20} , and P_{21} of the (0,9) band of the system were analyzed in the framework of the Mahaux-Lejeune theory. The P_{18} and R_{18} transitions contain a Q component. This lends support to existing calcns. that a $^4\Pi$ repulsive state is responsible for the predissocn. The transition probability to the continuum is not const., but varies as the predissocd. half-width.

npegnccosy

C.A. 1976 84 n8

* 45-11181

1975

09

M. n.

A²Σ⁺, X²Π₁

199579n The A²Σ⁺-X²Π₁ system of hydroxyl-d. Determination of molecular constants by the direct two-state fit approach. Coxon, J. A. (Dep. Chem., Dalhousie Univ., Halifax, Nova Scotia). *J. Mol. Spectrosc.* 1975, 58(1), 1-28 (Eng). Accurate mol. consts. for the low vibrational levels of the A²Σ⁺ and X²Π₁ states of OD are reported for the 1st time. All available literature data are analyzed by the direct 2-state fit approach. The problem of almost total correlation between the 1st-order spin-rotation coupling const. (γ) and the 2nd-order centrifugal spin-orbit const. ($A_D = 2A_J$) in ²Π states is discussed in detail. A new general procedure for the calcn. of A_D is described and gives results similar to the approxn. proposed by Veseth. The mol. consts. of OD are used to compute RKR potential energy curves and a set of J -dependent Franck-Condon factors for $v' \leq 3$, $v'' \leq 3$ of the A²Σ⁺-X²Π₁ system.

C.A. 1975 83 N24

OD

XI-4636

1975

10 Б56. Система полос $A^2\Sigma^+ - X^2\Pi_i$ радикала OD.
Определение молекулярных констант методом прямой подгонки по двум уровням. Сохоп J. A. The $A^2\Sigma^+ - X^2\Pi_i$ system of OD. Determination of molecular constants by the direct two-state fit approach. «J. Mol. Spectrosc.», 1975, 58, № 1, 1—28 (англ.)

(н.н.)

Выполнен теор. анализ колебательно-вращательной структуры системы полос электронного перехода $A^2\Sigma^+ - X^2\Pi_i$ радикала OD. По лит. данным для частот переходов с учетом спин-орбитального и спин-вращательного взаимодействий, а также центробежной правки к спин-орбитальному взаимодействию, вычислены молек. константы OD. Показано, что константа спин-вращательного взаимодействия почти полностью коррелирована с постоянной, характеризующей зависимость спин-орбитального взаимодействия от вращательного квантового числа. Из полученных значений молек. констант методом Ридберга—Клейна—Риса построены потенц. кривые состояний $A^2\Sigma^+$ и $X^2\Pi_i$ и вычислены факторы Франка—Кондона для переходов с $v', v'' \leq 3$.

М. Р. Алиев

1976 110

XI - 4636

1975

OD

5 Д208. Система полос $A^2\Sigma^+$ — $X^2\Pi_i$ радикала OD. Определение молекулярных постоянных методом прямой подгонки по двум уровням. Coxon J. A. The $A^2\Sigma^+$ — $X^2\Pi_i$ system of OD. Determination of molecular constants by the direct two-state fit approach. «J. Mol. Spectrosc.», 1975, 58, № 1, 1—28 (англ.)

(min)

Выполнен теоретич. анализ колебательно-вращательной структуры системы полос электронного перехода $A^2\Sigma^+$ — $X^2\Pi_i$ радикала OD. По литературным данным для частот переходов с учетом спин-орбитального и спин-вращательного взаимодействий, а также центробежной поправки к спин-орбитальному взаимодействию, вычислены молекулярные константы OD. Показано, что константа спин-вращательного взаимодействия почти полностью коррелирована с постоянной, характеризующей зависимость спин-орбитального взаимодействия от вращательного квантового числа. Из полученных значений молекулярных констант методом Ридберга—Клейна—Риса построены потенц. кривые состояний $A^2\Sigma^+$ и $X^2\Pi_i$ и вычислены факторы Франка—Кондона для переходов с $v', v'' \leq 3$.

М. Р. Алиев

Ф. 1976 № 5

OD

*J8-11180, XI-4635 1975

5 Д434. Спин-орбитальное взаимодействие и А-удвоение в основном состоянии OD($X^2\Pi$). Сохоп J. A., Hammersley R. E. Spin-orbit coupling and A-type doubling in the ground state of OD, $X^2\Pi$. Comparison of experimental constants with ab initio calculations. «J. Mol. Spectrosc.», 1975, 58, № 1, 29—38 (англ.)

Приведены результаты ab initio расчетов электронных матричных элементов $\langle X^2\Pi | \hat{L}^+ | A^2\Sigma^+ \rangle$, $\langle X^2\Pi | \hat{H}_{so} | A^2\Sigma^+ \rangle$ и $\langle X^2\Pi | \hat{H}_{so} | X^2\Pi \rangle$ радикала OD при различных межъядерных расстояниях. Разработан метод проверки точности расчетов на основании сравнения с матричными элементами, полученными из параметров спин-орбитального взаимодействия и А-удвоения при анализе системы OD($A^2\Sigma^+$ — $X^2\Pi$). Согласие экспериментальных и рассчитанных значений матричных элементов лучше 1%. Библ. 11.

хв. нет.
реакции

9.1976.№5

*US-11180, X1-46351975

OD

M. n.

kb. u. pacre

1995S0f Spin-orbit coupling and A-type doubling in the ground state of hydroxyl-d, $X^2\Pi$. Comparison of experimental constants with ab initio calculations. Coxon, J. A.; Hammersley, R. E. (Dep. Chem., Dalhousie Univ., Halifax, Nova Scotia). *J. Mol. Spectrosc.* 1975, 58(1), 29-38 (Eng). Ab initio calcns. of the electronic matrix elements, $\langle X^2\Pi | L^+ | A^2\Sigma^+ \rangle$, $\langle X^2\Pi | H_{so} | A^2\Sigma^+ \rangle$ and $\langle X^2\Pi | H_{so} | X^2\pi \rangle$ of the OD mol. are reported as a function of internuclear sepn. Methods are developed to test the accuracy of these calcns. by comparison with matrix elements detd. from the A-doubling and spin-orbit coupling parameters from anal. of the OD $A^2\Sigma^+$ - $X^2\Pi$ system. The agreement between the exptl. and ab initio matrix elements is better than 1%.

C.A. 1975 83 No 4

OD

9 Б31. Спин-орбитальное взаимодействие и А-удвоение в основном состоянии OD, $X^2\Pi$. Сравнение экспериментальных постоянных с данными неэмпирических расчетов. Coxon J. A., Hammersley R. E. Spin-orbit coupling and A-type doubling in the ground state of OD, $X^2\Pi$. Comparison of experimental constants with ab initio calculations. «J. Mol. Spectrosc.», 1975, 58, № 1, 29—38 (англ.)

(и.п.)

Для молекулы OD в основном состоянии $X^2\Pi$ проведено сравнение параметров спин-орбитального взаимодействия и А-удвоения, вычисл. по эксперим. данным и с неэмпирич. волновыми функциями ограниченного метода ССП. При расчете принято, что ответственным за А-удвоение является только $A^2\Sigma^+$ -состояние. При оценке спин-орбитального взаимодействия все двухцентровые интегралы полагались равными нулю; матричные элементы кориолисова взаимодействия вычислялись точно. Расчеты выполнены в широком интервале межъядерных расстояний, что позволило сравнить значения параметров для ряда колебательных состояний. Колебательные матричные элементы при этом вычислены с помощью волновых функций, найденных численно по потенциальной кривой РКР. Для всех параметров теор. и эксперим. значения согласуются с точностью до 1%.

Б. И. Жилинский

1975

11/80

11/80

11/80

60129.9333

Ch, Ph, TC

35247

ОД (Λ-дубл.)

1975

#4-11150

Meerts W.L., Dymantis A. A molecular beam electric resonance study of the hyperfine Λ doubling spectrum of OH, OD, SH, and SD. "Can. J. Phys.", 1975, 53, N 19, 2123-2141

(англ., рез. франц.)

11541 РМК

521 526

533

ВИНИТИ

ЖУ-11147

1975

OD

5 Д433. Вращательные и предиссоциационные времена жизни OD($A^2\Sigma^+$). Wilcox David, Anderson Richard, Peacher Jeggy. Rotational and predissociation lifetimes of the $A^2\Sigma^+$ state of OD. «J. Opt. Soc. Amer.», 1975, 65, № 11, 1368—1370 (англ.)

Методом задержанных совпадений измерены вращательные времена жизни и вероятности предиссоциации уровней $N'=3-42$, $v'=0$ и $N'=8-25$; $v'=1$ состояния $A^2\Sigma^+$ радикалов OD, образующихся при импульсном разряде в D₂O. Обнаружена сильная предиссоциация уровня $N'=35$ полосы (0,0). Спиновые компоненты уровня имеют приблизительно одинаковые времена жизни. Предиссоциация объяснена пересечением уровня $N'=35$, $v'=0$ с отталкивательным состоянием ${}^4\Sigma^-$. Состояния $A^2\Sigma^+$ и ${}^4\Sigma^-$ смешиваются в результате слабого спин-орбитального взаимодействия. Эффект аналогичен обнаруженному ранее для OH($A^2\Sigma^+$). Библ. 12.

В. С. И.

и предиссоциации
уровней

09.1976 N 5

1946

OD

Brayzer M., et al

Adv. Statm. and Mol. Phys. Vol 12.
New York e.a., 1946, 165-213

обзор:
антарктическ
какали

60624.4338

40892

1976

Ph, TC, Ch

Ох (нагреваји
сереће)

4475-

Germann K. R. Collision and quenching
cross sections in the $A^2 \Sigma^+$ state of OH
and OD. "J. Chem. Phys.", 1976, 64, N 10,
4065-4068 (англ.)

0643 РУЖ

624 630 635

ВИНИТИ

OD

* 4-13396

1976

11 Д378. Исследование пересечения уровней радикала $OD(A^2\Sigma^+)$ в магнитном поле. German K. R. High field level crossing measurements of the $A^2\Sigma^+$ state of OD. «J. Chem. Phys.», 1976, 64, № 10, 4192—4196 (англ.)

Для радикала $OD(A^2\Sigma^+, v'=0$ и 1), возбуждаемого перестраиваемым лазером, исследовано пересечение уровней в магн. поле. Определены константы сверхтонкой структуры. Значения магн. констант сверхтонкой структуры с точностью до нескольких процентов совпадают с полученными в результате расчетов *ab initio*. Библ. 14.

18

(+) 11

44.6



4.1976 N 11

OD

Х-45-13396

1976

21 Б132. Измерение пересечения уровней состояния $A^2\Sigma^+$ радикала OD в сильном поле. Герман К. Р. High field level crossing measurements of the $A^2\Sigma^+$ state of OD. «J. Chem. Phys.», 1976, 64, № 10, 4192—4196 (англ.)

*сверхтонк-
кая структура
колебаний
уровней* Методом пересечения уровней в сильном поле измерены значения констант сверхтонкой структуры колебательных уровней с $v'=0$ и Γ возбужденного электронного состояния $A^2\Sigma^+$ радикала OD (для возбуждения флуоресценции использован перестраиваемый лазер на красителе): $b_0=109,73$, $c_0=25,73$, $egQ_0=0,22$; $b_1=111,15$, $c_1=24,40$, $egQ_1=0,05$ Мгц. Полученные значения констант b и c с магнитной СТС согласуются с результатами неэмпирич. расчетов. М. Р. Алиев

Х1976 №21

SO

1976

(ν_2)

87: 60235m Measurement and analysis of the ν_2 band of deuterium oxide (oxygen-16). Lin, Chun Liang (Ohio State Univ., Columbus, Ohio). 1976. 137 pp. (Eng). Avail. Univ. Microfilms Int., Order No. 77-10,561. From Diss. Abstr. Int. B 1977, 37(11), 5719.

C.A. 1977. 87 n8

61229.7324
Ch,TC, MGU

41197

1976

OD

X 45-15938

Nielsen S.O., Michael B.D.,
Hart E.J.

Ultraviolet absorption spectra of
aq-H₂OH,D, and OD from pulse radiolysis
of aqueous solutions.

"J.Phys.Chem.", 1976, 80, N 22, 2482-2488

(англ.)

07.80 мкм.

735.739

ВИНИТИ

OD

ХС-14779

1876

NO

1 Д177. Замечание о постоянных квадрупольной связи в $A^2\Sigma^+$ -состояниях OD и NO. Woods R. Claude, Dixon Thomas A. Comment on the quadrupole coupling constants in the $A^2\Sigma^+$ states of OD and NO. «J. Chem. Phys.», 1976, 64, № 12, 5319—5320 (англ.)

Показано, что в ранних работах (см. РЖФиз, 1973, 11Д1064; 1975, 5Д711) при анализе сверхтонкой структуры вращательных уровней электронного состояния $X^2\Sigma^+$ -молекул OD и NO использовано выражение для квадрупольной поправки к энергии с неправильным численным множителем. После исправления ошибки для постоянной квадрупольной связи eqQ получены значения 0,18 (OD) и —6,768 МГц (NO). М. Р. Алиев

(+)

☒



р. 1977. № 1

OD

X5-14779

1976

NO

85: S5145d Comment on the quadrupole coupling constants in the $A^2\Sigma^+$ states of hydroxyl-d and nitric oxide. Woods, R. Claude; Dixon, Thomas A. (Dep. Chém., Univ. Wisconsin, Madison, Wis.). *J. Chem. Phys.* 1976, 64(12), 5319-20 (Eng). An examn. and correction of literature data on quadrupole coupling consts. of the $A^2\Sigma^+$ states of OD and NO resulted in values which appear to be rather well detd. from the elegant spectroscopic expts. The agreement between these exptl. results and the best ab initio calcs. is similar to that found for other mol. states where the comparison has been made.

normally
flaggynai,

pacusent.

(+) A

C.A. 1976 85 N 2

07

ommited 5698 1974

Bertie J. E. Bates F.R.

J. Chem. Phys., 1974,

67 N4, 1511-1518

mid-infrared spectra of
deuterated ices at 10K and
interpretation of the OD stretching.

70328.6633

96201

ХI-5590

Ch, Ph

 $\text{OH}, \text{OD}(\gamma), \text{OH}^+(\text{un}), \text{OD}^+(\text{un})$

Katsumata S., Lloyd D.R.

The photoelectron spectra of the OH
and OD radicals. "Chem. Phys. Lett.",
1977, 45, № 3, 519-522
(англ.)

0842 ник

10.

813 816

ВИНИТИ

O⁺

1977

Masanet Y; et al.

A²Σ-X²Π Y. Chem. Phys. et
phys-chim. biol., 1977,
74(7-8), 795-8.

(see: OH; III)

OD

датчик 9478

1980

17 Б251. Спектроскопия длинноволнового инфракрасного лазерного магнитного резонанса OD в области 118,8, 96,5 и 215,4 мкм. Geiger J. S., Smith D. R., Bonnett J. D. Far infrared laser magnetic resonance spectroscopy of OD at 118,8, 96,5, and 215,4 μm . «Chem. Phys. Lett.», 1980, 70, № 3, 600—604 (англ.)

U.K. скрипт

Методом лазерного магнитного резонанса исследован радикал OD. Использованы лазеры на CH_3OH (118,8 и 96,5 мкм) и CH_3OD (215,4 мкм). Приведены данные по зеемановским спектрам для переходов $^2\Pi_{3/2} : I = 7/2 \rightarrow I = 9/2$, $^2\Pi_{3/2} : I = 7/2 \rightarrow ^2\Pi_{1/2} : I = 5/2$

$^2\Pi_{3/2} : I = 3/2 \rightarrow I = 5/2$. Аналогичные данные приведены и для переходов $^2\Pi_{3/2} : I = 3/2 \rightarrow I = 5/2$ и $^2\Pi_{3/2} : I = 5/2 \rightarrow ^2\Pi_{1/2} : I = 3/2$ радикала OH (96,5 мкм). В. М. Ковба



Х 1980 N 17

OD

Отмск 11906

1981

23 Б175. Фурье-спектроскопия инфракрасного спектра OD. Объединение данных по электронным, колебательно-вращательным и микроволновым спектрам. Amiot C., Maillard J.-P., Chauville J. Fourier spectroscopy of the OD infrared spectrum. Merge of electronic, vibration—rotation, and microwave spectroscopic data. «J. Mol. Spectrosc.», 1981, 87, № 1, 196—218 (англ.)

С помощью спектрометра фурье-преобразования получен ИК-спектр испускания OD в D_2/O_2 пламени (область 3500—9000 см^{-1}). Измерена вращательная структура полос 2—0, 3—1, 4—2, 5—3, а также частично полос 6—4, 3—0 и 4—1 (приведены волновые числа линий и их отнесение). Рассмотрен вид матричных элементов гамильтониана для состояния $X^2\Pi$ в различных приближениях, а также матричные элементы для состояния $A^2\Sigma^+$. С целью получения более точного набора молек. постоянных, выполнена совместная обработка

Х. 1981, 19, № 23.

полученных в настоящей работе эксперим. данных, результатов исследования вращательной структуры УФ-спектра (переход $A^2\Sigma^+ - X^2\Pi$, полосы 0—0, 1—1, 2—2 и 0—1) и МВ-спектра молекулы (всего 1400 линий). Для колебательных уровней $v=0-5$ основного электронного состояния приведены значения T_v , A , A_D , A_H , B , D , H , L , p , p_D , q , q_D , q_H , поворотных точек РКР потенциальной кривой.

Б. М. Ковба

(5)
долг

OD

Омск 11906

1981

12 Д470. Фурье-спектроскопия радикала OD в инфракрасной области. Совместный анализ электронного, колебательно-вращательного и микроволнового спектров. Fourier spectroscopy of the OD infrared spectrum. Merge of electronic, vibration-rotation, and microwave spectroscopic data. Amiot C., Maillard J.-P., Chauvillé J. «J. Mol. Spectrosc.», 1981, 87, № 1, 196—218 (англ.)

На фурье-спектрометре с разрешением $0,01 \text{ см}^{-1}$ в области $3500\text{--}9000 \text{ см}^{-1}$ исследован колебательно-вращательный спектр излучения радикала OD, возбужденного в кислородно-дейтериевом пламени. Идентифицирована вращательная структура колебательных переходов $v=2-0, 3-1, 4-2, 5-3, 6-4, 3-0$ и $4-1$. Обработка спектра выполнена совместно с литературными данными для полос $0-0, 1-1, 2-2$ и $0-1$ системы электронного перехода $A^2\Sigma^+ - X^2\Pi$ и для микроволн.

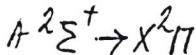
do. 1981, 18, N12.

спектра с учетом спин-орбитального, спин-вращательного и спин-спинового взаимодействий. Определены значения молекулярных констант для уровней с $v \leq 5$ основного электронного состояния $X^2\Pi$. М. Р. Алиев



OD

mmmcq 11906 1981



M, N .

94: 216885f Fourier spectroscopy of the hydroxyl-d radical infrared spectrum. Merge of electronic, vibration-rotation, and microwave spectroscopic data. Amiot, C.; Maillard, J. P.; Chauville, J. (Lab. Phys. Mol. Opt. Atmosphérique, Campus Orsay, 91405 Orsay, Fr.). *J. Mol. Spectrosc.* 1981, 87(1), 166-218 (Eng). The OD IR spectrum, emitted in a flame of D and O, was recorded for the 1st time in the 2- μ m spectral range with a Fourier Transform spectrometer. A simultaneous fit of the IR 2-3, 3-1, 4-2, 5-3, 3-0, 4-1 vibration-rotation bands, of the UV data (0-0, 1-1, 2-2, 0-1 bands of the $A^2\Sigma^+ \rightarrow X^2\Pi$ transition) and of the microwave data, gives accurate mol. consts. for the ground-state vibrational levels up to $v = 5$. The classical unique perturber approach and the effective Hamiltonian of J. M. Brown (1978) for $^2\Pi$ states, were successively used for the fitdn. of the spectroscopic data.

C.A.1981.94 N26

OD

Lommel 11155] 1981

Bergeman T., et al.

Phys. Rev., 1981, 23, 45-53.

Experimental and Theoretical
Studies of OD $A^2\Sigma^+$ State
Lifetimes



and Predissoct.,

DD

Commun 11733 / 1981

Kf. Mex.
pacifer

Cooper D. L., et al.

Referat
napiawefal,
Konserv. uchitpos
pacisneekay

Z. Chem. Phys.;
1981, 44(7), 3961-64.

00

Ly Typpkarta s. B
Cooper D. L.

1981

Int. Colloq. Mol. Spectrosc.

(Abstr. and program)

Stockholm, May 11-14, 1981.

Ab initio calculation of higher order
corrections to χ -doubling and...

OD

1981

Davies P. B., et al.

Faraday Discuss.

Crekup · Chem. Soc., 1981, N 41,
15-21.

(ces. OH; II^{i})

1981

OD

OH

*Laser
fluorescence
experiments*

(+) 4

94: 73949s Laser-induced fluorescence measurement of the internal and fine structure states distributions of hydroxyl radical-di ($X^{\pm}H_2v, J, N$) from atomic deuterium + monomeric nitrogen dioxide. Murphy, Edmond J.; Brophy, John H.; Arnold, Graham S.; Dimpfl, William L.; Kinsey, James L. (Dep. Chem., Massachusetts Inst. Technol., Cambridge, MA 02139 USA). *J. Chem. Phys.* 1981, 74(1), 324-30 (Eng). The relative populations of rotational states in $v = 0, 1, 2$, of OD produced in the crossed mol. beam reaction $D + NO_2$ and in $v = 0$ of OH from $H + NO_2$ were measured by laser-induced fluorescence. High degrees of rotational and vibrational excitation was obsd. These distributions were analyzed by using an information theoretic approach which incorporates constraints on the rotational degeneracy of the reaction products. The probability of prodn. of fine structure states within $v = 0$ of the OD product is also reported. The reaction produces a nearly statistical spin state distribution. However, one of the members of each λ doublet is preferentially populated. The implications of the exptl. observations and the information theoretic anal. are discussed.

P. H. 1981. 94, 210

OD

1982

Bessis N., Tergiman Y. S.

p@crires

EP. II.

J. Mol. Spectrosc.,
1982, 93, N1, 16-45.

(cet-CN; III)

OD

Om. 15535 1982

6 Б298. Спектр ЭПР радикала OD. Определение молекулярных параметров основного состояния. The EPR spectrum of the OD radical: a determination of molecular parameters for the ground state. Brown John M., Schubert Janette E. «J. Mol. Spectrosc.», 1982, № 1, 194—212 (англ.)

Исследованы спектры ЭПР радикалов OD в газ. фазе в основном состоянии. В спектрах наблюдали переходы между уровнями с двумя спиновыми компонентами состояния $X^2\Pi$. Из сопоставления полученных результатов с данными по электрич. резонансу в молек. пучках и спектрами в дальней ИК-области определены молекулярные параметры OD на уровне $\nu=0$ состояния $^2\Pi$. Эти параметры использованы в сочетании с соотв. величинами для молекул OH при определении значений спин-вращательной константы γ и коррекции параметра спин-орбитального взаимодействия A_D для уровня $\nu=0$. Несколько менее надежно определены величины параметров спин-орбитального взаимодействия A_e и α_A . С применением полученного набора молек. пара-

Di, M. N.

ж. 1983, 19, N 6

метров рассчитаны частоты и интенсивности линий, обусловленных переходами между низкорасположенными уровнями, в ближней ИК-области спектра.

Из резюме

те
чны

OD

1982

2 Б114. Анализ возбуждения и поляризации излучения фрагментов OD, возникающих при диссоциации D₂O под действием электронного удара. Excitation and polarization analysis of the OD fragment radiation produced by dissociative electron impact on D₂O. Becker KURT, Schulz Günther. «Can. J. Phys.», 1982, 60, № 8, 1168—1175 (англ.)

A² Σ^+

Исследовано образование радикалов OD в возбужденном A² Σ^+ состоянии при диссоциации D₂O под действием электронного удара в скрещенных электронном и молек. пучках. Изучалось излучение, исходящее перпендикулярно обоим пучкам. Выполнены измерения интенсивности и поляризации излучения полосы 0—0 OD (A² $\Sigma^+ \rightarrow X^2\Pi$) в диапазоне 3060—3300 А. Второй

X, 1983, 19, № 2

(нетермич.) максимум интенсивностей в полосе 0—0, соотв-щий аномально вращательно возбужденным радикалам OD, обнаружен при $K'=24$, что соответствует той же энергии возбуждения, что и в аналогичном максимуме у OH, образованных аналогичным образом из H₂O. Поляризованность же излучения этих возбужденных радикалов OD найдена в 3 раза меньшей, чем в случае OH; это свидетельствует о большем времени жизни возбужденных молекул D₂O по сравнению с H₂O. Приведены ф-ции возбуждения всей полосы 0—0 и отдельных ее участков при энергиях электронов до 1000 эВ. Линейной экстраполяцией найден порог появления OD ($A^2\Sigma^+$), равный $9,4 \pm 0,3$ эВ. Д. В. Чеховской

OD

1982

23 Б20. Сверхтонкая структура уровней двухатомной молекулы в сильном резонансном поле. Ляпцев А. В., Киселев А. А. «Хим. физ.», 1982, № 7, 883—887

Изучено влияние на СТС спектров сильного резонансного поля, когда штарковское расщепление сравнимо по величине или превосходит сверхтонкие расщепления. Исследование проведено методом квазиэнергетических состояний для двухатомных молекул, находящихся в сильном поле, резонансном по отношению к электронному переходу. Рассмотрены случаи, соответствующие типам связи по Гунду $a_{\text{в}}$ и $b_{\text{в.л.}}$. В качестве конкретных примеров обсуждены молекулы OD и CN. Б. И. Жиллинский

(+)

OD CN

Х. 1982, 19, N23

DD

1982

Schultz P.A., Mead Roy
D., Jones P., Zireberger W.C.

He J. Chem. Phys., 1982, 77, N3,
1153 - 1165.

(eu. OH; III)

DD

Om. 17656
19213

1983

Amano T.,

1983р

Грекопольск. Bull. Soc. Chim. Belg.,
(1983р) 1983, 92, N6-7, 565-572.

09 16825

1983

OD

21 Б156. УФ-спектр ^{18}OD . The uv spectrum of ^{18}OD . Nuss M., Gericke K.-H., Comes F. J., Guillory William A. «J. Mol. Spectrosc.», 1983, 98, № 1, 154—160 (англ.)

С помощью узкополосного перестраиваемого лазера на красителе с удвоением частоты с высоким разрешением измерена вращательная структура полосы 0—0 перехода $A^2\Sigma^+ - X^2\Pi$ в УФ-спектре молекулы OD. Молекулы $^{16,18}\text{OD}$ образовывались по схеме $^{16}\text{O}_3 + h\nu$ (266 нм, 4-я гармоника Nd-лазера) $^{16}\text{O}('D) + ^{16}\text{O}_2('A_g)$, $^{16}\text{O}('D) + \text{D}_2^{18}\text{O} \rightarrow ^{16}\text{OD} + ^{18}\text{OD}$ ($P_{\text{D}_2\text{O}} = 10$ мм, $P_{\text{O}_2} = 2$ мм). Приведены волновые числа линий и их отношение. Даны диаграммы уровней энергии OD ($A^2\Sigma^+, X^2\Pi_{3/2, 1/2}$). Значения мол. постоянных ^{18}OD (в см^{-1}): $B_\pi = 9,749$, $D_\pi = 3,86 \cdot 10^{-4}$, $H_\pi = -1,7 \cdot 10^{-7}$, параметры А-расщепления $\xi' = -0,47$, $\eta' = 3,4 \cdot 10^{-2}$, $O_0 = -0,224$, $P_0 = 0,132$, $q_0 = -9,79 \cdot 10^{-3}$; параметры спин-орбитального взаимодействия $A = -139,08$, $A_J = -2,1 \cdot 10^{-3}$; $B_\Sigma = 8,924$, $D_\Sigma = 4,48 \cdot 10^{-4}$, $H_\Sigma = -1,4 \cdot 10^{-7}$, параметр расщепления $\gamma_0 = 1,18 \cdot 10^{-1}$.

В. М. Ковба

X. 1983, 19, N 21

18 OD

On. 16825

1983

98: 188365y The UV spectrum of hydroxyl radical (^{18}OD). Nuss, M.; Gericke, K. H.; Comes, F. J. (Inst. Phys. Theor. Chem., Frankfurt, Fed. Rep. Ger.). *J. Mol. Spectrosc.* 1983, 98(1), 154-60 (Eng). The combined high-resoln. UV absorption spectrum of ^{16}OD and ^{18}OD was obtained. State selective measurements of the transitions from the electronic ground state to the 1st excited electronic state were measured. Evaluation of these transition frequencies in wavenumbers yielded mol. consts. as well as rotational term values for each of the isotopic species. A computer program based on a linearized least-squares procedure was used to det. the mol. consts. and term values. The term value formulas which were employed for this purpose, take into account the Λ splitting and the centrifugal distortion of the diat. species. The transitions, recalcd. from the semiempirically detd. term values agree with the measured absorption lines to better than 0.1 cm^{-1} . The following mol. consts. are reported: B , D , H , the rotational consts. of the $^2\Pi$ and $^2\Sigma^+$ states; O_0 , P_0 , Q_0 , the consts. of the Λ splitting of the $^2\Pi$ state; A and A_J ; the consts. of the spin-orbit coupling of the $^2\Pi$ state; and γ_0 , the const. of the ρ doubling of the $^2\Sigma^+$ state. Furthermore, term values up to J'' and J' of 25.5 and the corresponding UV transitions are given.

(YOP creamp.)
M.N.

C.A. 1983, 98, N22

OD

1983

Om. 16825

10 Д499. УФ-спектр ^{18}OD . The uv spectrum of ^{18}OD .
Nuss M., Gericke K.-H., Comes F. J., Guillot William A. «J. Mol. Spectrosc.», 1983, 98, № 1,
154—160 (англ.)

М.Н.

гр. 1983, 18, № 10

09

[Om. 18693]

1984

om.N12 (в паке Herzberg b.)

зарегистрирован
спектр,
функционирует.
кодом -
распознан.
заголовок.

Anano T.,

J. Mol. Spectrosc.,
1984, 103, N2, 436 -
454 .

DD

(OM. 21193)

1984

Gelkmp.

groulbt.
Hoerlin.

Peterson K.J., Fraser G.T.,
et al.

Can. J. Phys., 1984, 62,
N12, 1502-1507.

OD

[Om. 19076]

1984

Van Lorkheyzen H.,
De Lange C. A.,

Mol. Phys., 1984, 51,
N3, 551- 568.

УФ фено-
метрический
спектр

OD

1985

5 Л203. Изучение длинноволнового ИК-спектра радикала OD в основном и возбужденных колебательных состояниях методом лазерного магнитного резонанса.
The far-infrared laser magnetic resonance spectra of the OD radical in ground and vibrationally excited states. Brown John M., Schubert Janette E., Brown Carl E., Geiger James S., Smith Don R. «J. Mol. Spectrosc.», 1985, 114, № 1, 185—196 (англ.)

(дл.н.)

Методом лазерного магн. резонанса с использованием лазеров с оптич. накачкой от CO₂-лазера исследован длинноволн. ИК-спектр поглощения радикала OD. Идентифицированы линии вращательных переходов с $J \leq 15/2$ и их тонкая структура в колебательных состояниях с $v = 0 \div 3$ основного электронного состояния X²P. Анализ спектра выполнен с учетом спин-орбитального и спин-вращательного взаимодействий, центробежных поправок к этим взаимодействиям, А-удвоения. Определены значения параметров этих взаимодействий.

М. Р. Алиев

© 1986, 18, N5

OD

1985

8 Б1165. Спектры длинноволнового лазерного магнитного резонанса радикала OD в основном и колебательно возбужденных состояниях. The far-infrared laser magnetic resonance spectra of the OD radical in ground and vibrationally excited states. Brown J. M., Schubert J. E., Brown C. E., Geiger J. S., Smith D. R. «J. Mol. Spectrosc.», 1985, № 1, 185—196 (англ.)

Метод длинноволнового ($\lambda = 97,5 - 235,7$ мкм) лазерного магн. резонанса (магн. поля до $\sim 1,4$ T) применен для исследования низколежащих колебат. уровней состояния $X^2\Pi$ радикала OD (I). Радикалы I получали в плазме разряда при взаимодействии D_2 с NO_2 . Произведено отнесение линий в спектрах к различным переходам между вращат. уровнями и подуровнями, определяющими ТС полос. В спектрах проявлялось А-удвоение. Теорет. расчет спектров позволил уточнить их интерпретацию. Оценены значения постоянных для состояний $v = 0, 1, 2$ и 3 I.

А. В. Бобров

X. 1986, 19, N 8

OD

1985

Singh Sierjit.

II. n.

J. Mol. Struct., 1985,
127, N 3-4, 203-208.

( OH; III)

1986

1 Б4532. Исследование разрешённой во времени люминесценции, вызванной импульсным радиолизом паров D₂O. Time resolved study of the luminescence produced by the pulse radiolysis of D₂O vapor. Quickenen T. I., Vernon C. F., Litjens R. A., Freeman C. G., Sangster D. F. «J. Chem. Phys.», 1986, 85, № 1, 80—85 (англ.). Место хранения ГПНТБ СССР

Методом импульсного радиолиза [$E_e = 0,53$ МэВ, τ (имп.) = 3 нс] в спектральном диапазоне 200—900 нм при $T = 298 \pm 3$ К исследованы пары D₂O. Найдено, что макс. полосы испускания (нм), время естественной гибели (нс), константа скорости р-ции [$(10^{-9} \text{ см}^3 \text{ (моль}^{-1} \cdot \text{с}^{-1})]$] и сечение тушения (нм²) возбужденных фрагментов D₂O соотв. следующие: OD($C^2\Sigma^+ \rightarrow A^2\Sigma^+$) (1—8) — $257,6 \pm 0,1$; $4,2 \pm 0,8$; $1,65 \pm 0,56$ и $4,1 \pm 1,5$; OD($C^2\Sigma^+ \rightarrow A^2\Sigma^+$) (1—9) — $262,4 \pm 0,1$; $4,4 \pm 0,4$; $1,50 \pm 0,39$ и $3,7 \pm 1,2$; OD($C^2\Sigma^+ \rightarrow A^2\Sigma^+$) (0—9) — $269,6 \pm 0,1$; $3,4 \pm 0,5$; $0,93 \pm 0,34$ и $2,3 \pm 0,8$; OD($A^2\Sigma^+ \rightarrow X^2\Pi$) (0—0) — $308,36 \pm 0,08$; 915 ± 43 ; $0,35 \pm 0,05$ и $0,1 \pm 0,02$; D($n = 5 \rightarrow n = 2$) — $433,93 \pm 0,09$; $14,5 \pm 0,5$; $0,95 \pm 0,05$ и

спектр
испускания

X. 1987, 19, N 1.

$0,75 \pm 0,04$; $O^+(3p^4D^0 \rightarrow 3s^4P) = 464,91 \pm 0,08$; 48 ± 20 ; —; —; $D(n=4 \rightarrow n=2) = 486,11 \pm 0,08$; $12,4 \pm 1,4$; $2,1 \pm 1,2$ и $1,6 \pm 0,2$; $D(n=3 \rightarrow n=2) = 656,14 \pm 0,08$; $6,9 \pm 0,8$; $1,7 \pm 0,3$ и $1,3 \pm 0,2$; $O(3p^3P \rightarrow 3s^3S^0) = 844,50 \pm 0,07$; 11 ± 3 ; —; —. Полученные данные близки к аналогичным величинам для H_2O . Меньшие времена жизни и константа скорости тушения перехода серии Бальмера для D по сравнению с соотв. возбужденным состоянием H объясняется большей заселенностью p подуровней D.

А. Григорьев

нир
 $8 \cdot 10^6$

OD

1986

Requena A., Zúñiga J.,
et al.,

v. n., J. Quant. Spectrosc. and
Radiat. Transfer, 1986,
35, N1, 29-37.

(c.u. CN; $\bar{1}\bar{1}$)

1987

OD

№ 5 Л415. Линии S_{21} переходов $A^2\Sigma^+(v'=1) \leftarrow X^2\Pi(v''=0)$ радикалов OH и OD. The S_{21} lines of the $A^2\Sigma^+(v'=1) \leftarrow X^2\Pi(v''=0)$ transitions of OH and OD. Lin Shiaw-Ruey, Lee Sze-Tsen, Lee Yuan-Pern. «J. Quant. Spectrosc. and Radiat. Transfer», 1987, 38, № 3, 163—166 (англ.)

С помощью перестраиваемого лазера получены с разрешенной вращательной структурой спектры возбуждения флуоресценции $A^2\Sigma^+ - X^2\Pi$ радикалов OH в области 278—280 нм и OD в области 286 нм. Радикалы OH(OD) получали реакцией атомов H(D) из МВ-разряда с NO_2 или O_3 . Обнаруженная в спектрах система вращательных линий отнесена к слабой ветви S_{21} перехода $\text{OH(OD)}A^2\Sigma^+, v'=1 \leftarrow X^2\Pi, v''=0$. Отмечается хорошее согласие измеренных частот линий с их значениями, вычисленными на основании имеющихся в литературе спектроскопич. констант OH и OD. Проведены оценки интенсивности линий ветви S_{21} по отношению к линиям ветви P_1 с известными сечениями поглощения.

Е. Н. Т.

 Г

ср. 1988, 18, N 5

DD

[Om. 27648]

1987

Meijer G., Ubachs W.,
Crekamp Ter Meulen J.J. et al.,
paper
Nature Chem. Phys. Lett., 1987,
139, N6, 603 - 611.
(cell. SiCl₃ III)

OD

1988

Cheng B.-M., Lee Y.-P.
et al.

Chem. Phys. Lett. 1988.

151, N 1-2. C. 109-115.

( $\text{C}_{12}\text{H}_7\text{OH}$; II)

W.N.

DD

LM 33547]

1989

Atkins Ch. G., Briggs R. G.,
et al.,

Изучение
с性质,
 $(\text{Ar}^+ - \text{X}^-)$

J. Chem. Soc. Faraday
Trans. Pt II, 1989, 85,
N 12, 1987-1997.

Two-photon ● Dissociation

of H₂O and D₂O at 266 nm.

OD

Om 34 146]

1989

Sears T.G., Hall G.E.,
McAndrew J.J.F.,

J. Chem. Phys. 1989, 91,

N9, 5201-5207

Rotational populations in OD
formed in the reaction

D_1^1D + D_2 investigated by
infrared rotational absorption
spectroscopy.

09

1991

Collard M., Kerwirz P.,
et al.

Chem. Phys. Lett. 1991.

M.N.

179, N 5-6. C. 422-428.

(cel. OH; --)

OD

1992

117: 200781b The inductively coupled plasma spectrum of hydroxyl-d in the infrared. Abrams, Mark C.; Davis, Sumner P.; Rao, M. L. P.; Engleman, Rolf, Jr. (Dep. Phys., Univ. California, Berkeley, CA 94720 USA). *Pramana* 1992, 39(2), 163-76 (Eng). To gain more information about the highly excited rotational states of the $\Delta v = 1$ sequence of OD vibration-rotation bands, the spectrum was produced in an inductively coupled plasma discharge and measured with a Fourier transform spectrometer between 1670 and 5768 cm^{-1} . Along with the extension of 1-0 band, the authors were successful in recording the 2-1 band for the 1st time. A nonlinear least square fit of these bands yielded equil. mol. parameters for $v = 0, 1$ and 2 levels with a std. deviation of 0-0032 cm^{-1} . The centrifugal distortion parameters show a systematic vibrational dependence.

(lk creen)

C.A. 1992, 117, N 20

OR

1992

Coxon John A.

44th Ohio State Univ. Int.

Symp. Mol. Streetrose, Colen,

Columbus, Ohio, June 15-19, 1932

Columbus (Ohio), 1992. C.

216.

(C. 11)

OH; II)

U.N.

OD

1992

116: 94376r Jet emission spectroscopy of hydroxyl and hydroxyl-d near 1850 Å: first observation of a $\pi^1\text{A} \rightarrow \pi^1\text{D}$ electronic transition of hydroxyl-d. Huber, K. P.; Holland, F.; Coxon, J. A. (Herzberg Inst. Astrophys., Natl. Res. Coun. Canada, Ottawa, ON Can. K1A 0R6). *J. Chem. Phys.* 1992, 96(2), 1005-15 (Eng). The complex many-line systems obsd. at around 1850 Å from discharges contg. H₂O or D₂O (A. Michel, 1957; P. Felenbok and J. Czarny, 1964) were reinvestigated at high resoln. in the emission from supersonic jet expansions. Mixts. of He with D₂O produce a conspicuous progression of red shaded bands that overlap the many-line spectra but have not been reported before. The new transitions originate at large internuclear distance in a single $\pi^1\Pi$ vibronic level of OD at 55.294 cm⁻¹ above the min. of the ground-state potential, and they end on high vibrational levels, $v'' = 13, \dots, 18$, of $X^2\Pi$. Term values and spectroscopic parameters for the initial and final states were detd.; the upper state, labeled $C^2\Pi$, is inverted with a spin-orbit interaction that is close to the A value of $X^2\Pi$. Analogous bands of OH was not detected, and in contrast with the many-line emissions of both isotopes which persist in the presence of Ar as well as of He and in discharges through pure water vapor, the new $C^2\Pi \rightarrow X^2\Pi$ bands of OD appear only in mixts. with He. Guided by ab initio

$2\pi \rightarrow d\pi$ 6

881. 1850 Å⁰

T_e ~ 88294 cm⁻¹

C.A. 1992, 116, N 10

calcns. for the $^3\Pi$ excited states of OH (E. F. van Dishoeck and A. Dalgarno, 1983) the interpretation of the exptl. results concludes that all of the obsd. emission at around 1850 Å originates in a group of more or less strongly mixed $^3\Pi$ levels which reflect the radiative properties and excitation characteristics of two interacting stable diabatic states and which escape predissocn. by a repulsive third $^3\Pi$ state.

DD

1992

Varkony D.R.

J. Chem. Phys. 1992.

M.N.

97, N3. C. 1838-1849.

(ccn. OH; II)

09

1992

8 Б1102. Вращательно разрешенные фотоэлектронные спектры OH и OD в пороговой области. Rotationally resolved threshold photoelectron spectra of OH and OD /Wiedmann R. T., Tonkyn R. G., White M. G., Wang Kwanghsie, McKoy V. //J. Chem. Phys.—1992.—97, № 2.—С. 768—772.—Англ.

Выполнены эксперим. и теор. исследования вращательно-разрешенных фотоэлектронных спектров молекул OH и OD в пороговой области. Радикалы OH (OD) образовывались при вз-вии атомарного водорода (дейтерия) с NO₂. При получении фотоэлектронных спектров с нулевой кинетич. энергией фотоэлектронов использовался метод ионизации импульсным полем с однофотонным возбуждением излучением импульсного лазерного источника, перестраиваемого в области 95,0—95,4 нм (утрение частоты излучения лазера на красителе с помощью импульсной свободной струи молек. азота), OH(X^2 ; $V''=0$)→OH⁺ ($X^3\Sigma^-$, $V^+=0$) + e⁻. Основные детали расчета изложены авторами в работах //J. Chem. Phys.—1988.—88.— С. 1737; 1991.— 95.— С. 4977. При построении модельного

Х. 1993, N8

расчетного спектра принималось, что распределение молекул по начальным состояниям носит бульцмановский характер с $T=220$ К, а контур линий — гауссовский с полушириной 3 см^{-1} . Эксперим. и рассчитанные спектры в целом хорошо согласуются между собой. Улучшенная величина потенциала ионизации для OH и OD (определенна по положению перехода $P_1(1), N^+=0, J^+=1 \rightarrow N''=1, J''=3/2$) составила соотв. $104\ 989 \pm 2$ и $105\ 085 \pm 2 \text{ см}^{-1}$.

↗

В. М. Ковба

exp.
иерим
and

OD-

1994

120: 310072r High-resolution Fourier transform spectroscopy of the vibration-rotation spectrum of the OD radical. Abrams, Mark C.; Davis, Sumner P.; Rao, M. L. P.; Engleman, Rolf, Jr. (Jet Propul. Lab., California Inst. Technol., Pasadena, CA 91109 USA). *J. Mol. Spectrosc.* 1994, 165(1), 57-74 (Eng). The IR spectrum of the deuterated hydroxyl radical OD was measured with a FTIR spectrometer at $\lambda = 1850\text{-}9000\text{ cm}^{-1}$. The source, a D atom O₃ diffusion flame, was designed to study the chemiluminescent excitation of the vibration-rotation energy levels of the OD radical. Twenty-one bands were obsd., 6 bands in the $\Delta\nu = 1$ sequence, 9 bands in the $\Delta\nu = 2$ sequence, and 6 bands in the $\Delta\nu = 3$ sequence. A global nonlinear least-squares fit, using the unique perturber approxn., of 2112 lines to 76 mol. parameters yielded a std. deviation of 0.007 cm⁻¹ including 35 parameters for the previously unobserved $\nu = 6\text{-}10$ vibrational states.

(UK CREAMY
RECORDED
PAUL W.H.)

C.A. 1994, 120, n 24

OD

(Om. 37506)

1994

Shaw N., Bell A.J., Crawford
M.J., Frey J.B.,

J. Chem. Soc. Faraday Trans.
1994, 90 (6), 817-23.

Photolysis of  HO₂ and DHO₂
at 266 nm: OH and OD

Product - state distributions.

DD

1994

Stark F., Brault Y.M.,
Abrams M.C.,

$\pi^2\bar{\Sigma}^+ \rightarrow \chi^2\pi^-$ J. Opt. Soc. Amer.,
 $\Delta V = 0$ 1994, Cep. 2 (B), II, N° 1,
3-32.

(coll. OH; III)

18 OD

1996

124: 188303g $A^2\Sigma^+ - X^2\Pi$ bands of ^{18}OD . Cheung, A. S-C.; Chan, C. M-T.; Leung, K. W-S.; Sze, N. S-K. (Dep. Chem., Univ. Hong Kong, Hong Kong, Hong Kong). *J. Mol. Spectrosc.* 1996, 175(1), 112-19 (Eng). The emission spectrum of the $A^2\Sigma^+ - X^2\Pi$ (0, 0), (1, 0), and (1, 1) bands of ^{18}OD has been investigated with a 6.65-m vacuum spectrograph in the wavelength region 290 to 350 nm. The emission spectrum of ^{18}OD was produced by microwave discharge of $D_2^{18}O$ vapor. All 12 branches expected from a $^2\Sigma - ^2\Pi$ transition have been obsd. and assigned. A merged least-squares fit of the measured line positions yielded mol. parameters of the $v = 0$ and 1 levels of both $A^2\Sigma^+$ and $X^2\Pi$ states. Excellent agreement has been obtained between detd. mol. parameters and those calcd. from isotopic relationships.

(A 2Σ ~~+X 2Π~~)

C.A. 1996, 124, N 14